

ПРИЛОЖЕНИЯ К СТАТЬЕ Л. Г. ЗАВИЛЕЙСКОГО И СОАВТ. «КЛАССИФИКАЦИЯ И КОЛИЧЕСТВЕННАЯ ОЦЕНКА СОБЫТИЙ НЕПРОДУКТИВНОГО СПЛАЙСИНГА»

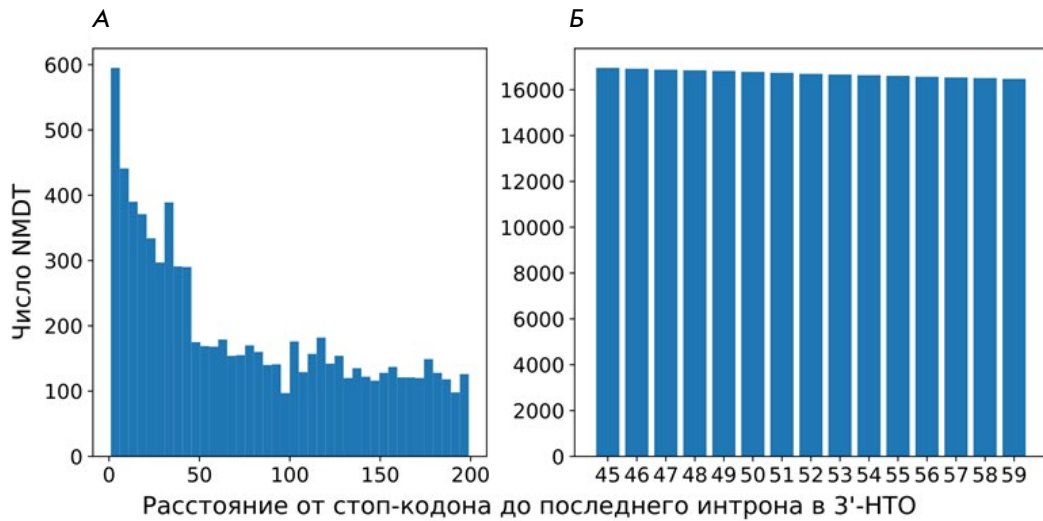


Рис. S1. Гистограмма расстояний между стоп-кодоном и последним интроном в 3'-НТО аннотированных транскриптов человека (А). Число предсказанных NMDT в зависимости от выбранного порога на расстояние от стоп-кодона до интрона (Б)

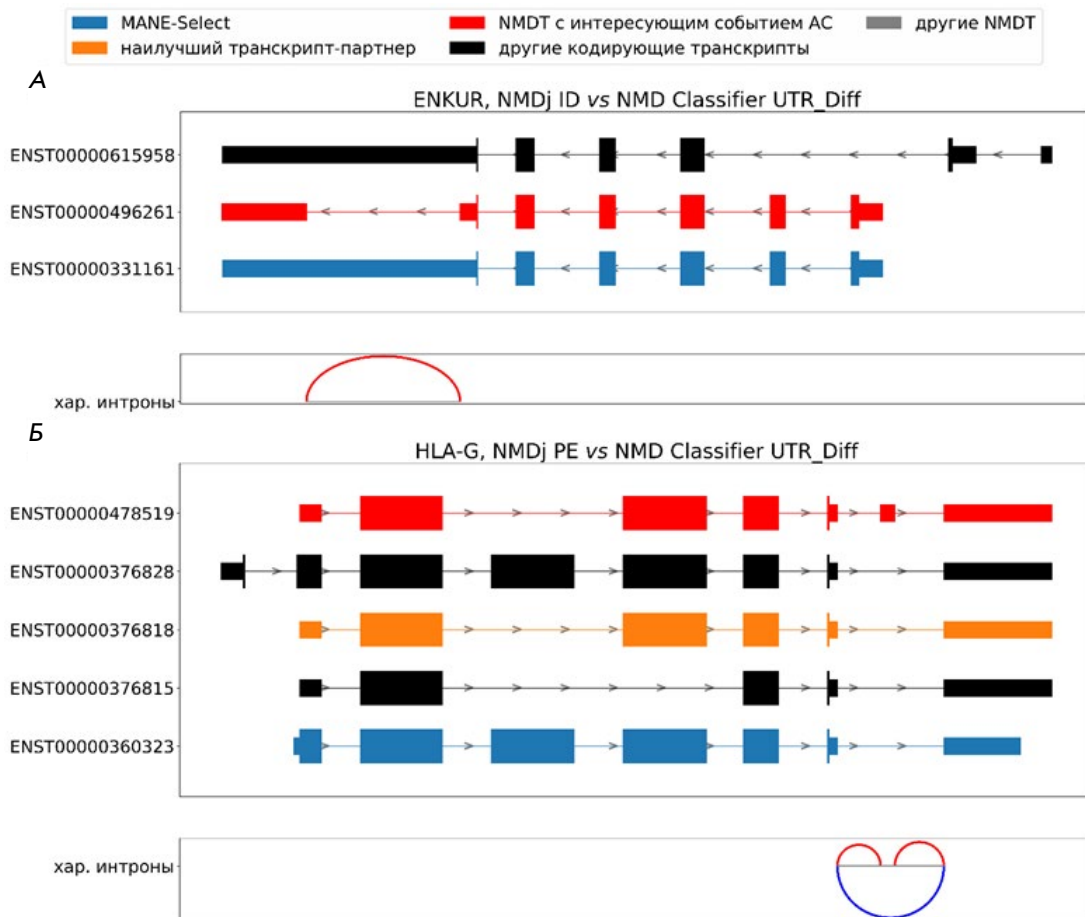


Рис. S2. Примеры подробной классификации событий AC, классифицированных NMD Classifier как UTR_Diff: удержание интрона (А) и ядовитый экзон (Б). Транскрипты MANE-Select показаны синим цветом, классифицируемые NMDT – красным, другие транскрипты, кодирующие белки, – черным

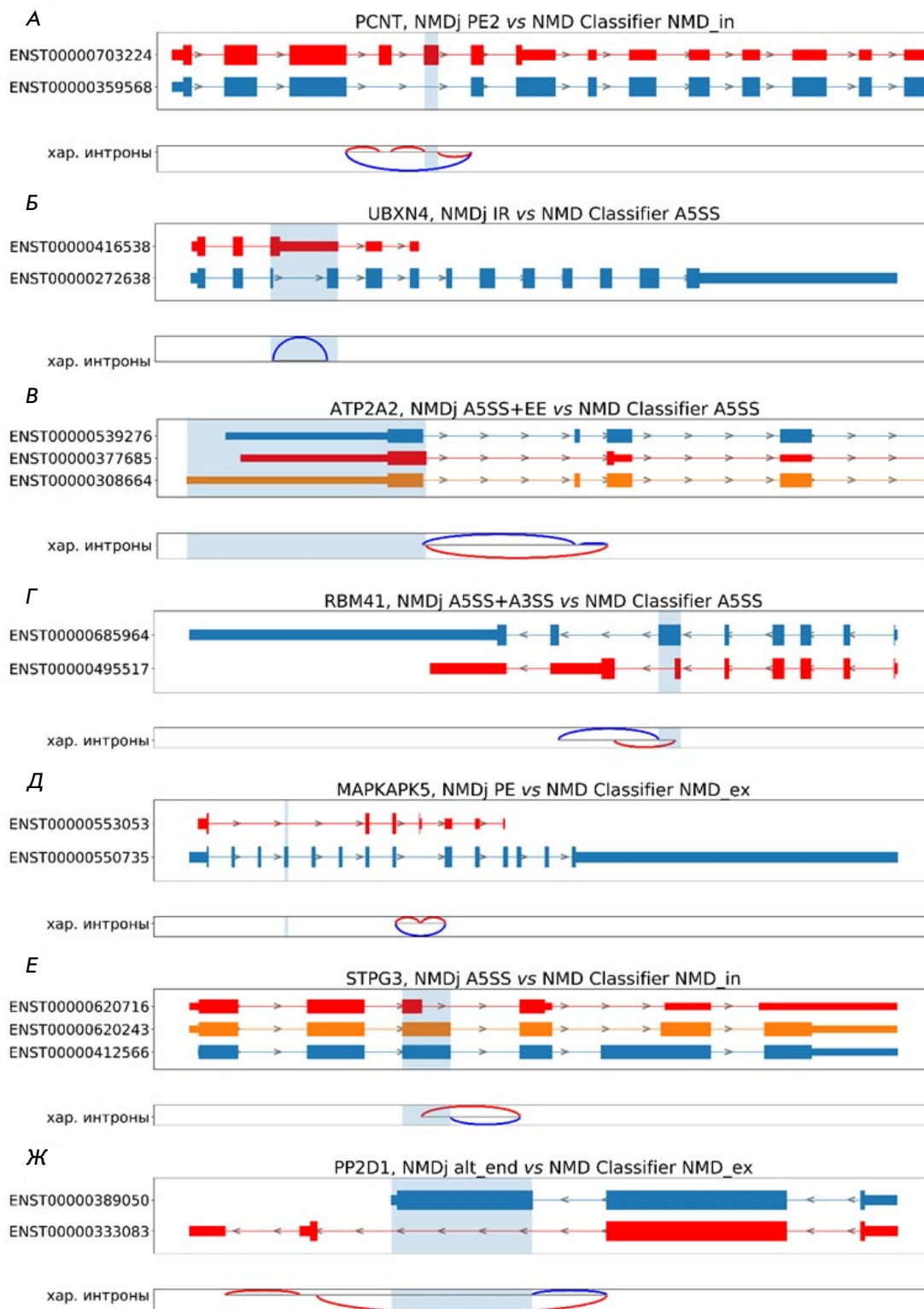


Рис. S3. Примеры неверной классификации NMD Classifier. Транскрипты MANE-Select показаны синим цветом, классифицируемые NMDT – красным. Наилучшие транскрипты-партнеры показаны оранжевым цветом в том случае, если они не совпадают с транскриптами MANE-Select